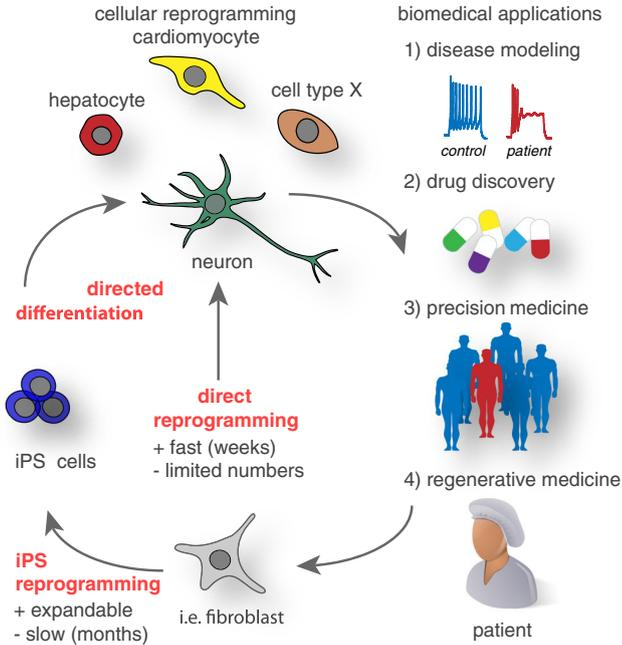


13. Online-Anhang

3.1 Mall/Wernig:

Abbildung 1: Techniken der zellulären Reprogrammierung und ihre Anwendung in der Medizin.

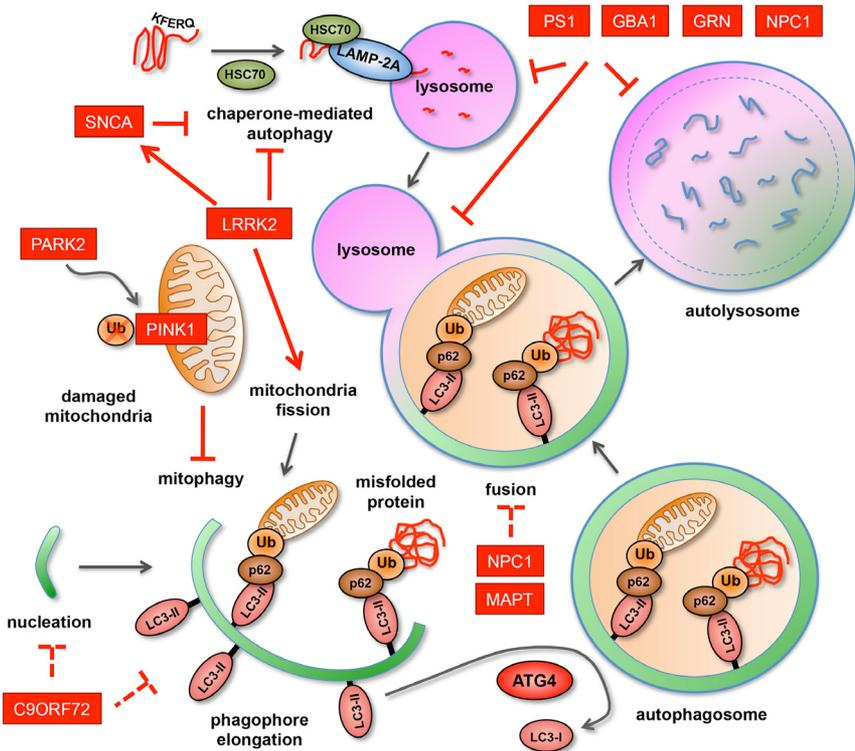


Quelle: Mall, M. und Wernig, M., J. Mol. Med. 95(7):695-703, 2017.

Diese Abbildung ist lizenziert unter einer Creative Commons Namensnennung 4.0. International Lizenz (<http://creativecommons.org/licenses/by/4.0/>).

3.2 Jungverdorben, Till, Brüstle:

Abbildung 2: Modellierung von Mutationen Autophagie-relevanter Gene, die mit neurodegenerativen Erkrankungen assoziiert sind.

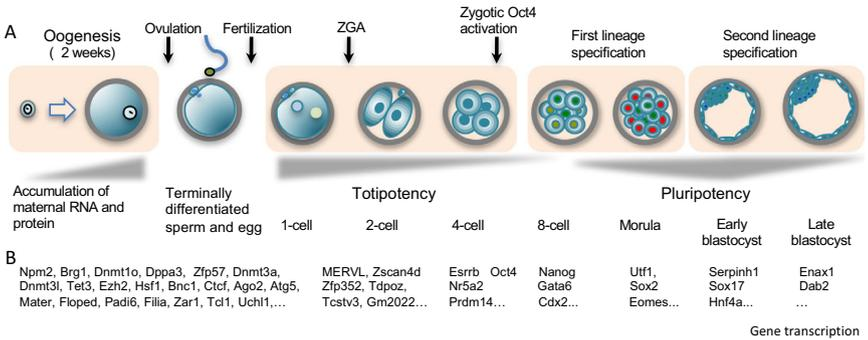


Quelle: Jungverdorben, J., Till, A. und Brüstle, O., J. Mol. Med. 95(7):705-718, 2017.

Diese Abbildung ist lizenziert unter einer Creative Commons Namensnennung 4.0. International Lizenz.

3.3 Wu, Lei, Schöler:

Abbildung 3: Totipotenz und Pluripotenz im Mausmodell.

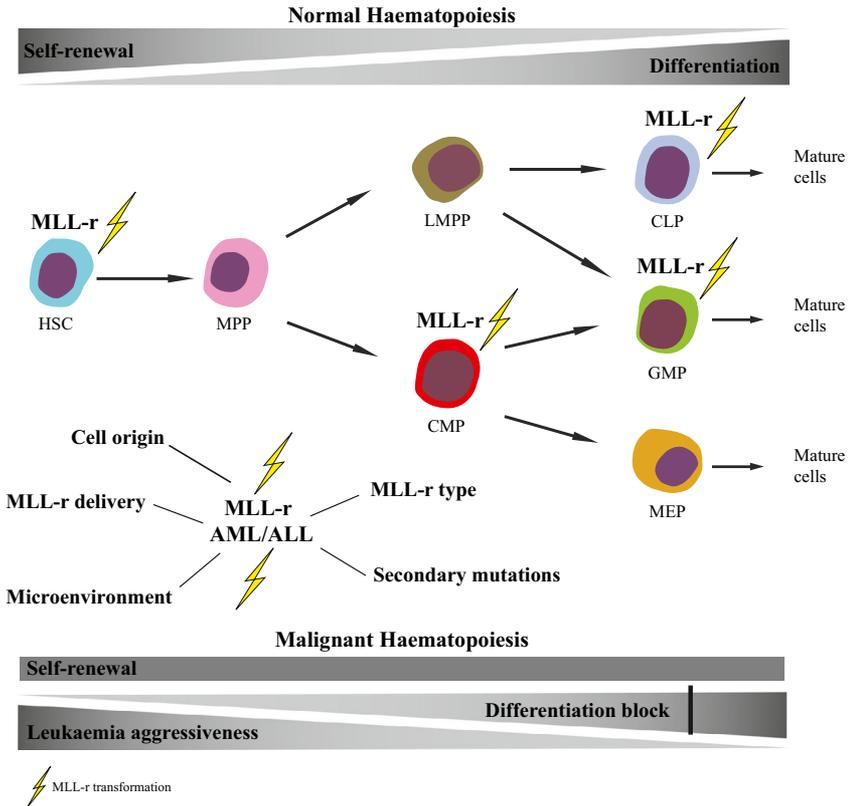


Quelle: Wu, G., Lei, L. und Schöler, H. R., J. Mol. Med. 95(7):687-694, 2017.

Diese Abbildung ist lizenziert unter einer Creative Commons Namensnennung 4.0. International Lizenz.

3.4 Basilio/Göttgens:

Abbildung 4: Fehlregulation der Blutzellentwicklung bei der Leukämie.

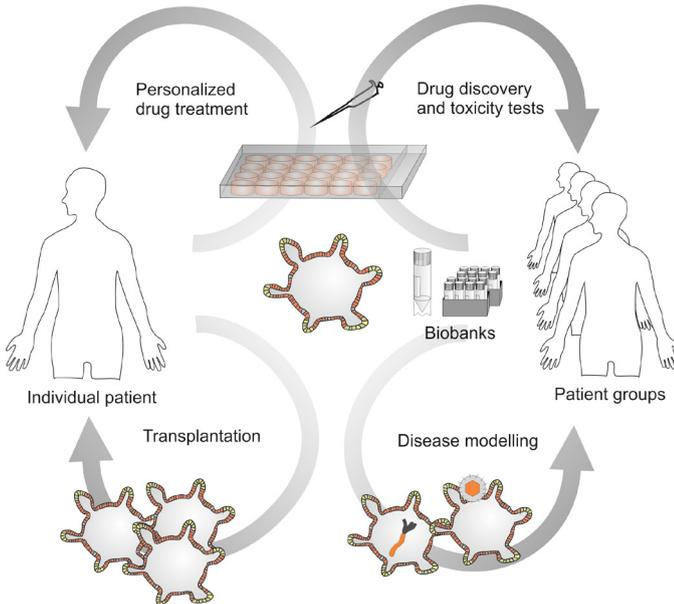


Quelle: Basilio, S. und Göttgens, B., J. Mol. Med. 95(7):719-727, 2017.

Diese Abbildung ist lizenziert unter einer Creative Commons Namensnennung 4.0. International Lizenz.

3.5 Bartfeld/Clevers:

Abbildung 5: Organoide haben ein hohes Potenzial für die Diagnostik, Therapie, Medikamentenentwicklung und Grundlagenforschung.



Quelle: Bartfeld, S. und Clevers, H., J. Mol. Med. 95(7):729-738, 2017.
Nachdruck mit Genehmigung des Springer Verlages.